

DOI: https://doi.org/10.30898/1684-1719.2025.10.13

УДК: 621.391

# ПЕРЕДАЧА ДВОИЧНЫХ СООБЩЕНИЙ ОРТОГОНАЛИЗОВАННЫМИ СИГНАЛАМИ НА ОСНОВЕ МАТРИЦЫ АДАМАРА ПРИ ИМПУЛЬСНОЙ ПОМЕХЕ

### В.А. Вершинин

Статья поступила в редакцию 20 июля 2025 г.

эффективность, Частотная Аннотация. помехоустойчивость являются двоичных сообщений. важнейшими параметрами передачи Повышение устойчивости передачи двоичных сообщений к импульсной помехе можно осуществить путем организации одновременной (параллельной) передачи элементов сообщения ортогональными сигнальными функциями. В статье анализируется передача двоичных сообщений непосредственно сигнальными функциями, ортогонализации полученными путем перекрывающихся узкополосных передача функциями, сигналов, И сигнальными матрицы сформированными c использованием Адамара. Рассмотрено формирование передаваемого сигнала и обработка принимаемого сигнала. Произведена оценка устойчивости передачи к импульсной помехе с использованием моделирования. Передача с использованием матрицы Адамара обладает лучшей помехоустойчивостью к импульсной помехе. Это связано более равномерным распределением во времени огибающих сигнальных функций.

**Ключевые слова:** узкополосные сигналы, импульсная помеха, ортогонализация, матрица Адамара, комплексная огибающая, частотная эффективность, пик-фактор.

**Автор** для переписки: Вершинин Владимир Александрович, vershinin-vladimir@yandex.ru

# Введение

Повышение устойчивости передачи двоичных сообщений к импульсной помехе можно осуществить путем организации одновременной (параллельной) передачи элементов сообщения ортогональными сигнальными функциями.

Необходимо отметить, что основы теории линейного (в том числе ортогонального) уплотнения и разделения сигналов разработаны советским ученым Д.В. Агеевым.

В [1] организация передачи двоичных сообщений состоит в следующем. Определяются сигналы:

$$c(t) = \begin{cases} \cos(2\pi Kt/T) + \cos[2\pi(K+1)t/T], -T/2 \le t < T/2 \\ 0, \text{другие } t \end{cases};$$

$$s(t) = \begin{cases} \sin(2\pi Kt/T) + \sin[2\pi(K+1)t/T], -T/2 \le t < T/2 \\ 0, \text{другие } t \end{cases}$$

3десь K — целое положительное число. Передаваемому сообщению соответствует сигнал на интервале  $0 \le t < (M+1)T/2$ :

$$y(t) = \sum_{m=1}^{M} \{A[a_m c(t - mT/2) + b_m s(t - mT/2)]\}.$$

Одновременно передается пара элементов сообщения; M — число пар элементов в сообщении;  $a_m$  и  $b_m$  принимают значения 1 или -1 в зависимости от значений 1 или 0 элемента сообщения; A — постоянный коэффициент. Сигналы, соответствующие последовательно передаваемым парам элементов частично перекрываются во времени на величину T/2. В результате имеется контролируемая межсимвольная интерференция.

Формирование передаваемого сигнала осуществляется исходя из комплексной огибающей этого сигнала:

$$y_c(t) = \sum_{m=1}^{M} \left[ A(b_m + ia_m) g(t - mT/2) \right], \tag{1}$$

где;  $g(t) = \begin{cases} \sin(2\pi t/T) - i [1 + \cos(2\pi t/T)] \text{ четные } K \\ -\sin(2\pi t/T) - i [1 + \cos(2\pi t/T)] \text{ нечетные } K \end{cases}$  — сигнальная функция

на интервале  $-T/2 \le t < T/2$ , вне этого интервала равна нулю; i — мнимая единица. Сигнал  $y_c(t)$  локализован на интервале  $0 \le t < (M+1)T/2$ .

Передаваемый сигнал 
$$y(t) = \text{Re}[y_c(t)r^*(t)]$$
, где  $r(t) = \begin{cases} e^{-i2\pi Kt/T} & \text{четные } K \\ e^{-i2\pi(K+1)t/T} & \text{нечетные } K \end{cases}$ .

В [2] для формирования передаваемого сигнала использовалась ортогонализация. На интервале  $(M+1)T/2>t\geq 0$  определен базис сигнала (1):  $e_m(t)=g\left[t-mT/2\right], \quad m=1,2,...,M$  . Используя процедуру Грамма-Шмидта получаем нормированные ортогональные сигнальные функции  $q_m(t)$  . Передаваемый сигнал

$$y(t) = \operatorname{Re}\left[y_c(t)r^*(t)\right],\tag{2}$$

где  $y_c(t) = \sum_{m=1}^{M} \left[ A(b_m + ia_m) q_m(t) \right]$  — комплексная огибающая передаваемого сигнала.

Для повышения устойчивости передачи к импульсной помехе предлагается использовать сигнальные функции вида:  $v_m(t) = \frac{1}{\sqrt{M}} \sum_{j=1}^M w_{j,m} q_j(t)$ , где  $w_{j,m}$  – элементы матрицы Адамара. Передаваемый сигнал

$$y(t) = \text{Re} \left[ y_c(t) r^*(t) \right],$$
 (3)

где  $y_c(t) = \sum_{m=1}^{M} \left[ A(b_m + ia_m) v_m(t) \right]$  — комплексная огибающая передаваемого сигнала.

Целью данной работы является сравнительный анализ передачи на основе сигналов (2) и (3) при воздействии импульсной помехи.

На рис. 1 и рис. 2 показаны огибающие сигнальных функций  $q_{32}(t)$  и  $v_{32}(t)$  соответственно.

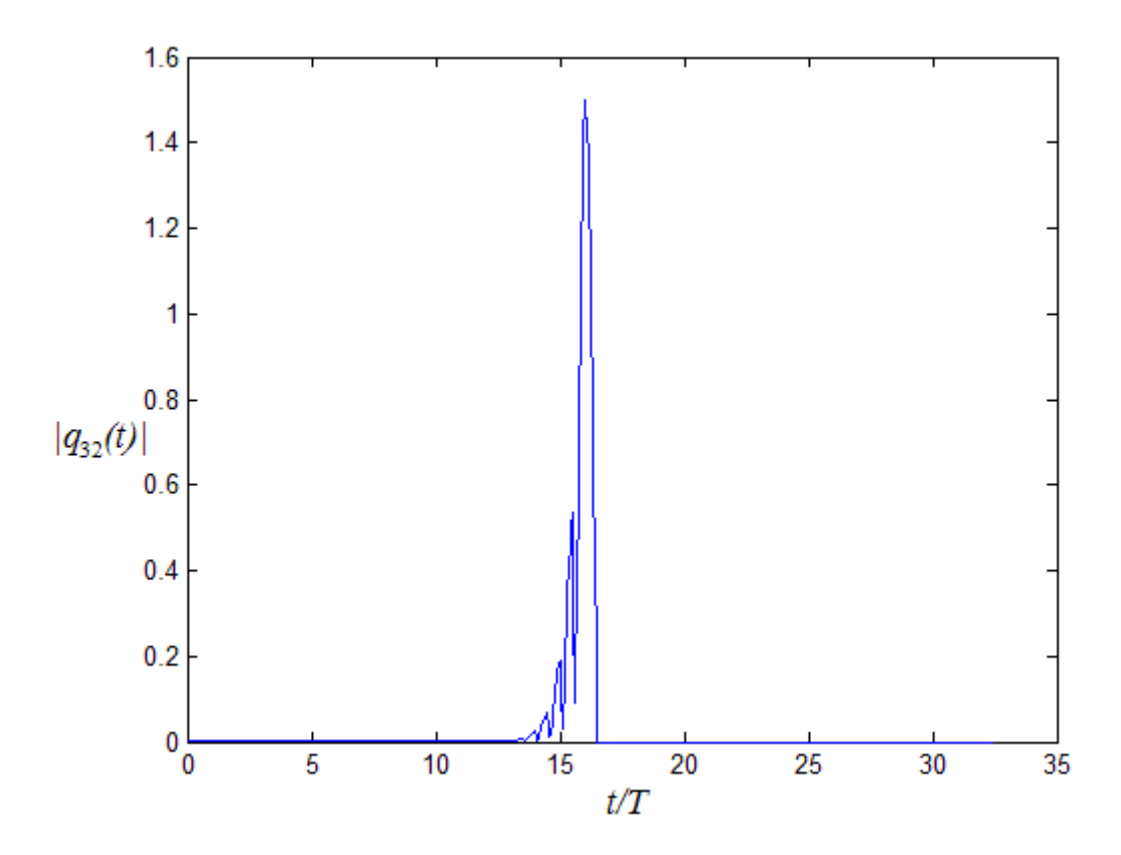


Рис. 1. Огибающая сигнальной функции  $q_{32}(t)$ .

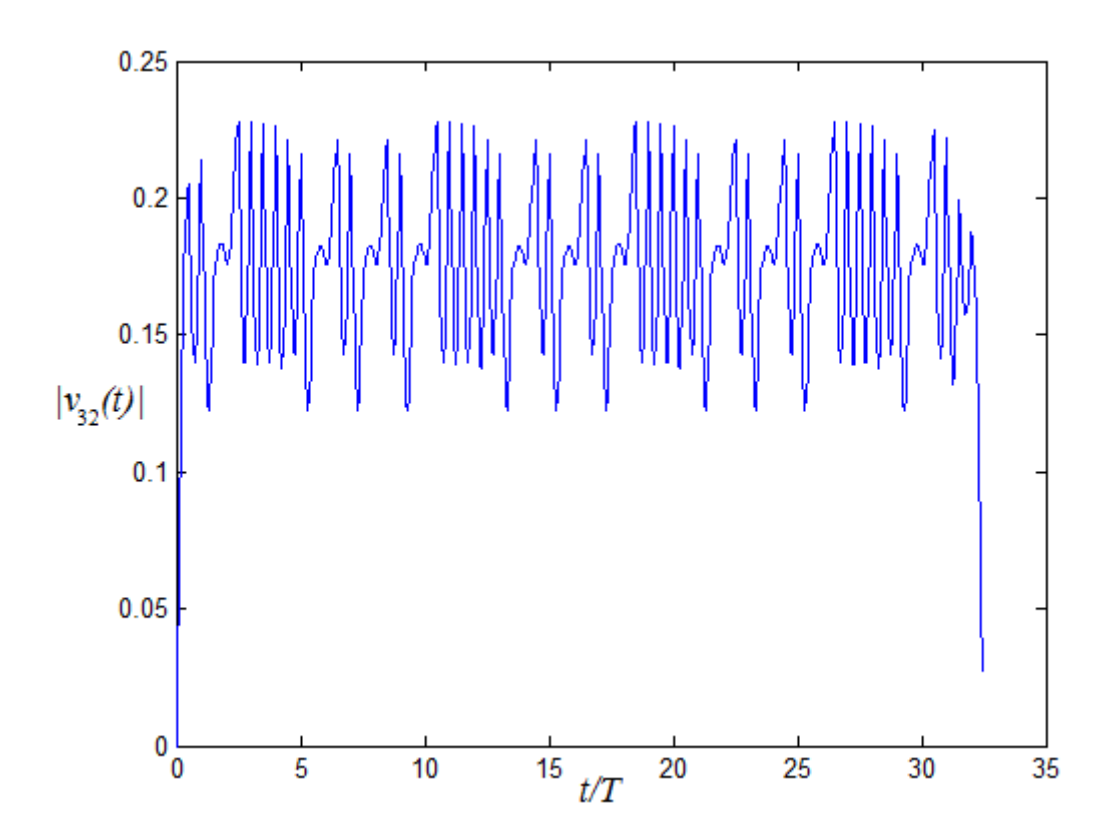


Рис. 2. Огибающая сигнальной функции  $v_{32}(t)$ .

# 1. Параметры и организация приема

Энергия передаваемого сигнала (2) и (3)  $E = A^2TM$ , средняя мощность  $P = \frac{2A^2M}{M+1}$ , энергия на элемент передаваемого сообщения  $W = A^2T/2$ . Полоса частот, в которой сосредоточено 99 % мощности сигнала,  $F \approx 2.48/T$ . Удельные затраты полосы  $F/R \approx \frac{2.48(M+1)}{4M} \approx 0.62$ , где  $R = \frac{4M}{T(M+1)}$  — скорость передачи элементов двоичного сообщения (бит/с). При M = 64 для сигнала (2) амплитуда  $y_{\text{max}} \approx 3.43A$ , пик-фактор  $\frac{y_{\text{max}}}{\sqrt{P}} \approx 2.44$ ; для сигнала (3)  $y_{\text{max}} \approx 18.1A$ , пик-фактор  $\frac{y_{\text{max}}}{\sqrt{P}} \approx 12.9$ .

Пусть на входе приемника имеется идеальный фильтр нижних частот с частотой среза, равной частоте Найквиста  $f_1 = (2K+1)/T$ . Тогда на выходе фильтра на интервале  $0 \le t < (M+1)T/2$  имеет место сигнал

$$z(t) = y(t) + n(t) + n_1(t - t_{\text{max}}),$$
 (4)

где n(t) — помеха в виде нормального белого шума с односторонней спектральной плотностью мощности N в полосе частот от нуля до  $f_1$ ;  $n_1(t) = B \frac{\sin\left(2\pi f_1 t\right)}{2\pi f_1 t}$  — импульс помехи с амплитудой B, совпадающий по форме с

импульсной характеристикой входного фильтра  $2f_1\frac{\sin\left(2\pi f_1 t\right)}{2\pi f_1 t}$ ;  $t_{\max}$  — момент максимального значения импульса помехи,  $0 \le t_{\max} < (M+1)T/2$ . Энергия импульса помехи  $W_1 = \int\limits_0^\infty \left[n_1(t)\right]^2 dt = \frac{B^2}{2f_1} = B^2 T_0$ .

Обработка сигнала (4) начинается с получения комплексной огибающей этого сигнала  $z_c(t)$ . Далее следует корреляционная обработка.

При использовании сигнала (2) определяется  $z_m = \frac{1}{T} \int_0^{(M+1)T/2} z_c(t) q_m^*(t) dt$ , а при использовании сигнала (3)  $z_m = \frac{1}{T} \int_0^{(M+1)T/2} z_c(t) v_m^*(t) dt$ . Принятыми элементами сообщения считаются  $a_m^1 = \begin{cases} 1 & \text{при Im}(z_m) > 0 \\ 0 & \text{при Im}(z_m) \le 0 \end{cases}$ ,  $b_m^1 = \begin{cases} 1 & \text{при Re}(z_m) > 0 \\ 0 & \text{при Re}(z_m) \le 0 \end{cases}$ .

# 2. Моделирование

При моделировании сигналы на интервале  $0 \le t < (M+1)T/2$ , рассматриваются в дискретные моменты времени  $t_d = (d-1)T_0$ , где d=1,2,...,(M+1)D/2;  $T_0 = \frac{1}{2f_1}$  — период дискретизации;  $D=T/T_0 = 2(2K+1)$  — число дискретных моментов времени на интервале длительностью T, это число должно быть четным.

Значения помехи n(t) при дискретизации являются независимыми случайными величинами, дисперсия этих величин равна  $N\!f_1=\frac{N}{2T_0}$ . При заданном  $h=\frac{W}{N}$ , дисперсия  $N\!f_1=\frac{N}{2T_0}=\frac{A^2T}{4T_0h}=\frac{A^2D}{4h}$ .

Пусть при дискретизации импульса помехи  $n_1(t-t_{\max})$  момент времени  $t_{\max}$  совпадает с одним из моментов  $t_d$ . Тогда структура  $n_1(t_d)$  такова, что ненулевой отсчет импульса помехи, равный B, имеет место при  $t_d=t_{\max}$ . При

заданном 
$$h_1=\frac{W}{W_1}=\frac{A^2T}{2B^2T_0}=\frac{A^2D}{2B^2},$$
 значение  $B=\sqrt{\frac{A^2D}{2h_1}}=A\sqrt{\frac{D}{2h_1}}$  .

Ниже приведена программа моделирования в среде Matlab. Входные параметры программы: K, h,  $h_1$  (в программе h1); U — число испытаний. При var = 0 используется сигнал (2); при var = 1 используется сигнал (3).

В программе также задаются M, A, T. Результат работы программы — число ошибочно принятых элементов сообщения er.

```
function er = grw_ort(K, h, h1, U, var)
  rng('default');
  % === Параметры ===
  M = 64;
  A = 1;
  T = 1;
  D = 2 * (2*K + 1);
  T0 = T / D;
  B = A * sqrt(D / (2*h1));
  td = 0:T0:(M + 1)*T/2 - T0;
  % === Формирование r и g ===
  if rem(K,2) == 0
    r = \exp(-1i * 2*pi*K * td / T);
    g = \sin(2*pi*(td(1:D)/T - 0.5)) ...
       -1i*(1+\cos(2*pi*(td(1:D)/T-0.5)));
  else
    r = \exp(-1i * 2*pi*(K + 1) * td / T);
    g = -\sin(2*pi*(td(1:D)/T - 0.5)) ...
       -1i*(1+\cos(2*pi*(td(1:D)/T-0.5)));
  end
  % === Сигма ===
  sigma = A * sqrt(D / (4*h));
  % === Инициализация массивов ===
  e = zeros(M, (M + 1)*D/2);
  f = zeros(M, (M + 1)*D/2);
  fn = zeros(M, (M + 1)*D/2);
  % === Заполнение е ===
  for i = 1:M
    e(j, 1 + (j - 1)*D/2 : (j + 1)*D/2) = g;
  end
  % === Ортогонализация ===
  f(1,:) = e(1,:);
  for m = 2:M
    f(m,:) = e(m,:) ...
       -(e(m,:) * f(m-1,:)') / (f(m-1,:) * f(m-1,:)') * f(m-1,:);
  end
```

```
% === Нормализация ===
  for j = 1:M
    fn(j,:) = f(j,:) * sqrt(D / (f(j,:) * f(j,:)'));
  end
  % === Применение матрицы Адамара ===
  W = hadamard(M);
  if var == 1
    v = W * fn / sqrt(M);
  else
     v = fn;
  end
  % === Основной цикл ===
  er = [0 \ 0];
  for u = 1:U
     a = 2 * randi([0 1], 1, M) - 1;
     b = 2 * randi([0 1], 1, M) - 1;
    yc = A * (b + 1i*a) * v;
    y = real(yc .* (r').');
     n = normrnd(0, sigma, 1, (M + 1)*D/2);
    n1 = zeros(1, (M + 1)*D/2);
    n1(1, randi((M + 1)*D/2)) = B;
     z = y + n + n1;
     \% z = y + n1; % Альтернативный вариант
     zc = r .* hilbert(z);
    z1 = zc * v' / D;
     b1 = 2 * (real(z1) > 0) - 1;
    a1 = 2 * (imag(z1) > 0) - 1;
     er1 = sum(a \sim = a1) + sum(b \sim = b1);
     er(1) = er(1) + er1;
    er(2) = u;
  end
end
```

Результаты моделирования с помощью приведенной выше программы приведены в таблице 1 при использовании сигнала (2) и в таблице 2 при использовании сигнала (3). Моделирование производилось при L=64, K=5 и различных значениях  $h,\ h_1,\ U$ . Число ошибочно принятых элементов сообщения обозначено  $N_e$  (в программе er). Число переданных элементов двоичного сообщения 2MU. Определена оценка вероятности ошибки  $p_e=N_e/(2MU)$ . Приведена вероятность ошибки p при отсутствии импульса помехи.

Таблица 1. Результаты при использовании сигнала (2).

h	5	10	15
$h_1$	0.2	0.2	0.2
U	10 <sup>4</sup>	$10^{6}$	10 <sup>7</sup>
2 <i>MU</i>	128×10 <sup>4</sup>	128×10 <sup>6</sup>	128×10 <sup>7</sup>
$N_e$	2773	146142	1306610
$p_e$	2.14×10 <sup>-3</sup>	1.14×10 <sup>-3</sup>	$1.02 \times 10^{-3}$
p	$7.83 \times 10^{-4}$	$3.87 \times 10^{-6}$	2.16×10 <sup>-8</sup>

Таблица 2. Результаты при использовании сигнала (3).

h	5	10	15
$h_{_{1}}$	0.2	0.2	0.2
U	104	$10^{6}$	10 <sup>7</sup>
2MU	128×10 <sup>4</sup>	128×10 <sup>6</sup>	128×10 <sup>7</sup>
$N_e$	1417	1510	227
$p_e$	1.08×10 <sup>-3</sup>	1.18×10 <sup>-5</sup>	$1.77 \times 10^{-7}$
p	$7.83 \times 10^{-4}$	3.87×10 <sup>-6</sup>	$2.16 \times 10^{-8}$

# Заключение

Передача двоичных сообщений на основе сигналов (2) и (3) обеспечивает хорошую частотную эффективность без использования формирователя спектра.

Передача с помощью сигнала (2) обладает лучшей помехоустойчивостью к импульсу помехи. Это связано более равномерным распределением во времени огибающих сигнальных функций.

Недостатком использования сигнала (2) является увеличение пик-фактора.

# Литература

- Вершинин В.А. Моделирование приема перекрывающихся сигналов при использовании обеляющего фильтра и алгоритма Витерби // Информационные технологии и телекоммуникации. 2022. Том 10. № 4.
- 2. Вершинин В.А. Передача двоичных сообщений ортогонализованными частично перекрывающимися сигналами // Журнал радиоэлектроники. -2024. № 10. https://doi.org/10.30898/1684-1719.2024.10.9

### Для цитирования:

Вершинин В.А. Передача двоичных сообщений ортогонализованными сигналами на основе матрицы Адамара при импульсной помехе // Журнал радиоэлектроники. -2025. -№. 10. https://doi.org/10.30898/1684-1719.2025.10.13